

Aprendizagem significativa através da modelagem computacional de sistemas físicos (Meaningful learning through computational modeling of physics systems)

Hércules A. Oliveira^{1,*}, Caio V. Vieira¹, and Tiago Kroetz²

¹*Departamento Acadêmico de Matemática, Universidade Tecnológica Federal do Paraná, Ponta Grossa, PR, Brasil and*

²*Departamento Acadêmico de Física, Universidade Tecnológica Federal do Paraná, Pato Branco, PR, Brasil*

(Dated: 10 de novembro de 2021)

O avanço da ciência nos dias atuais depende fortemente do cálculo numérico, devido à possibilidade de se obter soluções através de simulações que seriam inviáveis, ou mesmo impossíveis, de serem obtidas analiticamente. Nesse aspecto, torna-se de grande importância dominar as ferramentas fundamentais de cálculo numérico aplicadas a alguma linguagem de programação, como por exemplo, da programação em Fortran. Neste trabalho apresentamos alguns conceitos básicos de Fortran 77 e mostramos como estes podem ser aplicados à sistemas físicos, no intuito de oferecer um primeiro contato, um guia, à esta linguagem de programação. Apresentamos a construção de rotinas que modelam o comportamento do sistema massa-mola, de funções trigonométricas e de um sistema mais complexo, o mapa padrão. Apresentamos uma discussão sobre a aprendizagem significativa envolvendo os conceitos físicos e a programação em Fortran.

Palavras-chave: Computação aplicada, Física computacional, Aprendizagem Significativa.

Nowadays the Science progress depends on the numerical calculus, due to the possibility of obtention of solutions using simulations which would be impracticable, or even impossible, to be analytically obtained. In this aspect, it becomes important to dominate the fundamental tools of numerical calculus applied to some programming language, Fortran for example. In this work we presented few basic concepts of the Fortran 77. We show how this concepts can be applied in the simulation and analysis of physical systems, trying to offer a first contact, a guide, with this programming language. We presented the construction of routines that model the behavior of spring-mass system, trigonometric functions and a more complex system, the standart map. We presented a discussion about meaningful learning involving physical concepts and programming in Fortran.

Keywords: Applied computing, Computational physics, Meaningful Learning.

I. INTRODUÇÃO

Diversas áreas da física e matemática utilizam o cálculo numérico para visualizar a solução de equações simples ou até mesmo para verificar o comportamento de equações diferenciais lineares e não-lineares. Para esses fins existem diversos programas que oferecem boa abordagem prática como o Maple, Mathematica, Octave, Pyton, Fortran (costumeiramente escrito como FORTRAN), entre outros. Alguns dos programas citados, são exclusivos de programação numérica, como o FORTRAN. Outros dispõem de mais funções, como o cálculo analítico, caso do Maple e do Mathematica. Muitos pesquisadores, em diversas áreas da física, utilizam atualmente a programação em FORTRAN 77, FORTRAN 90 ou C++, principalmente por se tratarem de ferramentas gratuitas e amplamente difundidas nessas áreas.

A linguagem de programação FORTRAN surgiu em 1953, com a proposta de J. Backus como a primeira linguagem de alto nível usada para programação de computadores [1]. Apenas em 1957 foi liberado o compilador para esta linguagem de programação. O nome FORTRAN vem das palavras *FOR*Mula *TRAN*slation, que indicam a transição de fórmulas matemáticas em lingua-

gem de computadores. Diversos aprimoramentos surgiram nos anos seguintes e foram chamados de FORTRAN II em 1958, FORTRAN IV em 1961, FORTRAN 77 em 1977 e FORTRAN 90 em 1990. Outras versões intermediárias também foram lançadas, mas não citadas aqui, assim como a última versão de 2008. Apesar da evolução dos compiladores FORTRAN, e também do surgimento de outras linguagens de programação bastante funcionais, boa parte dos algoritmos utilizados em pesquisas de base continuam sendo implementados em FORTRAN 77.

O estudante de graduação em física, costumeiramente, é apresentado às necessidades de simulação computacional no decorrer de programas de iniciação científica. Com isto, geralmente nos primeiros passos deste aprendizado, o estudante segue de forma autodidata e não muito eficiente. Muitas vezes, ele utiliza material didático inadequado ou ultrapassado. O objetivo deste trabalho é propiciar uma aprendizagem mais significativa oferecendo uma introdução à análise computacional de problemas físicos. Busca-se despertar o interesse pelo estudo da física e da simulação de sistemas físicos em linguagem FORTRAN. O presente estudo tem como norteador o caráter introdutório e aplicado à física, sem a intenção de aprofundar em temas específicos de programação. Para maiores detalhes da linguagem de programação, como Constantes lógicas, Operadores lógicos, Extrutura condicional, o leitor deve procurar o livro da referência [1] ou manuais disponíveis na internet. O objetivo desse

* E-mail address: hercules@utfpr.edu.br

trabalho é mostrar que com conceitos básicos de programação pode-se evoluir no entendimento de fenômenos físicos. Nosso estudo é baseado na Linguagem de programação FORTRAN 77.

Este artigo está dividido em sete seções. Na primeira seção (I) temos a introdução. Na seção (II) apresentaremos uma introdução aos conceitos da linguagem FORTRAN 77 e seus principais comandos. Na seção (III) são apresentados alguns exemplos físicos de mecânica. Na seção (IV) apresentamos o rotor pulsado que dá origem ao Mapa Padrão ou Mapa de Chirikov-Taylor. Apresenta-se uma discussão sobre aprendizagem significativa na seção (V). As conclusões estão na seção (VI) e por fim, os agradecimentos na seção (VII).

II. INTRODUÇÃO À LINGUAGEM FORTRAN

O FORTRAN 77 (para simplificar, utilizaremos o termo “Fortran” para falar desta versão do FORTRAN) apresenta algumas fases essenciais para a sua utilização em problemas físico-matemáticos de forma numérica, dadas pela sequência de etapas: 1 - Modelagem do problema; 2 - Desenvolvimento de um algoritmo; 3 - Implementação do algoritmo para a linguagem de programação; 4 - Processamento do programa pelo computador e 5 - Análise dos resultados.

A etapa (1) trata da descrição detalhada e completa do problema a ser abordado pelo algoritmo, como a solução de uma integral ou de uma equação diferencial, explicitando quais os resultados esperados. A etapa (2) diz respeito à elaboração dos passos a serem adotados para chegar aos resultados. Na sequência, o algoritmo do problema é implementado na linguagem de programação durante a etapa (3), ou seja, transcrever seu problema em comandos ordenados para cálculo numérico. A quarta etapa se dá através da compilação e execução do programa (4), ou seja, a conversão do algoritmo em linguagem de máquina ou computador e do cálculo propriamente dito. Por fim, os resultados da simulação são analisados na etapa (5), extrai-se novas informações quantitativas e qualitativas do problema tratado e verifica-se a coerência destas informações com o conhecimento prévio do sistema.

Existem alguns comandos básicos da linguagem Fortran que devem ser apresentados inicialmente. Vamos, de início, escrever os números inteiros de 1 até 10 em sequência. Primeiramente atribuímos um nome ao código, por exemplo “sequencia”, sem acento. O Fortran não faz distinção entre letras maiúsculas e minúsculas, por isso é indiferente escrever “sequencia” ou “SEQUENCIA”, no entanto os acentos não são caracteres aceitos pelo compilador. A linguagem exige que as 6 primeiras casas, ou colunas, do editor de texto onde será escrito o código, sejam destinadas a números com informações de repetição, por isso o programa deve começar na sétima casa.

Na realidade o compilador recebe a informação das 80

primeiras colunas do editor, sendo que destas, as colunas de 1 à 5 são destinadas aos números que funcionam como rótulos dos comandos ou de declarações, quando usados. Caso o autor do código deseje inserir um comentário ao longo dos comandos, ele irá inserir o caractere “c” na primeira coluna do editor. Com isto, o compilador irá ignorar todas as linhas cuja primeira coluna contenha este caractere no momento em que for convertido em um programa executável. A coluna 6 é utilizada para indicar a continuação da linha anterior e as colunas de 7 a 72 conterão as declarações do código. As colunas de 73 a 80 são ignoradas pelo compilador.

Todos os comandos da linguagem são na língua Inglesa, por isso iniciamos com a palavra “program” seguido do nome do código a ser escrito. Os espaços entre as palavras são ignorados quando o código for compilado. Abaixo temos o começo do código com as colunas marcadas e o nome do programa.

```
123456program sequencia
```

Completando o código temos

```
program sequencia
integer i
do i=1,10
    write(*,*) i
enddo
end
```

Na primeira linha temos o início do código e o nome. Na segunda linha a declaração da variável **i** como sendo um número inteiro. Na terceira o início da contagem com o comando **do**, fazendo com que **i** varie de 1 até 10 em uma unidade inteira. Escreveremos os comandos em negrito para maior destaque e deixamos o espaço das seis colunas, sem que a contagem dos seis números apareçam, propositalmente para que o leitor sempre se atente a esse espaço utilizado pelo programa. Na linha seguinte, pedimos para o programa escrever na tela os números através do comando **write** e fechamos esta sequência com o comando **enddo**. Por fim, na linha seguinte, fechamos o programa com um **end**. Como vimos, utilizamos seis linhas para executar nosso cálculo. Cada linha deve conter um comando diferente conforme a necessidade. O resultado na tela será:

```
1
2
3
4
5
6
7
8
9
10
```

O código deve ser salvo como um arquivo com extensão “.f”, que indica ao computador que se trata de um programa em Fortran. Exemplo: “seq.f”.

Esse exemplo expressa a maneira de evoluir a variável em unidades. Caso se queira que a evolução de uma variável tenha um comportamento próximo do contínuo, basta somarmos números reais arbitrariamente pequenos antes de cada comando de impressão de seu valor na tela. Isso pode ser expresso no código para encontrar o comportamento gráfico das funções Seno, Cosseno, Tangente, Secante, Cossecante e Cotangente, como mostra o código a seguir.

```

program atrigo
real*8 y1,y2,y3,y4,y5,y6,x,xf,passo
open(1,file='sen.dat')
open(2,file='cos.dat')
open(3,file='tg.dat')
open(4,file='cossec.dat')
open(5,file='sec.dat')
open(6,file='cotg.dat')
pi=4.d0*datan(1.d0)
x=0.01d0
xf=2.d0*pi
passo=0.05d0
1  if(x.le.xf)then
    y1=dsin(x)
    y2=dcos(x)
    y3=dtan(x)
    y4=1.d0/y1
    y5=1.d0/y2
    y6=1.d0/y3
    write(1,*) x,y1
    write(2,*) x,y2
    write(3,*) x,y3
    write(4,*) x,y4
    write(5,*) x,y5
    write(6,*) x,y6
    x=x+passo
    goto 1
endif
end

```

A primeira linha inicia ao código e lhe atribui um nome. Na segunda linha são definidas as variáveis reais, com precisão dupla de 15 casas decimais (ex: 1,234567891234567), mas aparece na tela apenas 9 casas (ex: 1,234567891). Da terceira até a oitava linha são abertos arquivos que irão armazenar os dados gerados pelo programa. Isto é feito com o comando **open**, atribuindo-se um número para o arquivo, para controle do programa e um nome externo com a extensão **.dat**.

Na linha nove está o comando **datan(1.d0)**, que representa o arcotangente de 1 ($arctg(1)$). Este comando multiplicado por 4 fornece o valor numérico de π . A letra "d" indica a utilização de dupla precisão.

Na sequência são atribuídos valores para o x inicial ($x = 0,01$) e x final $xf = 2\pi$. A letra d seguida do número 0 indicam que o número é real e com dupla precisão, também indica que todas as casas decimais devem ser nulas até que se complete a precisão máxima da variável. A separação decimal deve ser feita através do

ponto na linguagem de computador (como em Inglês). A falta dessa descrição (**d0**) traz imprecisões que podem ser acumulativas nas casas decimais subsequentes às seis primeiras.

Na linha 12 temos a definição do tamanho do passo considerado entre dois pontos consecutivos. Na linha 13 iniciamos uma verificação, uma tomada de decisão. Aparecem os comandos **if** (se) e **then** (então) e o operador de relação **le**. O operador relacional **le** determina se o valor da variável à esquerda do operador é menor ou igual ao valor da variável à direita e tem significado literal "menor ou igual" (less or equal). Existem ainda os operadores de relação **lt** "menor", **ge** "maior ou igual" e **gt** "maior". Nas linhas de 14 à 19 calculamos as funções trigonométricas utilizando os comandos já existentes no Fortran para o Seno, Cosseno e Tangente, que intrinsecamente são reais. Nas linha de 20 à 25 escrevemos o resultado do cálculo em seis arquivos. Na linha 26 fazemos a soma de números reais, acrescentando ao x inicial $x = 0,01$ mais $passo = 0,05$. Na linha 27 utiliza-se o comando **goto 1** para que o programa retorne até o número 1 na linha 13 para verificar a relação entre x e xf , iniciando a pergunta se x é menor ou igual que o xf . Caso a resposta seja positiva, o código executa o cálculo novamente, caso contrário o programa avança para a linha 28 para o fechamento da pergunta com **endif** e finalização do código com **end**, na linha 29.

Na figura (1) e (2), temos o resultado do código atrigo, expresso através de gráficos. Estes foram gerados com os dados dos arquivos de saída definidos no código. Na figura (1) estão as funções Cosseno $g(x) = \cos(x)$ (na cor preta com pontos na forma de losângulos), Seno $f(x) = \sin(x)$ (na cor vermelha com pontos em forma de triângulos) e Tangente $h(x) = tg(x)$ (na cor azul com pontos na forma de círculos). No programa $h(x) = tg(x)$ é escrito em inglês $h(x) = tan(x)$. No gráfico expressamos $f(x)$, $g(x)$ e $h(x)$ simplesmente por $f(x)$. As funções estão delimitadas no eixo x de 0 até 2π e no eixo y de $-1,5$ até $1,5$. Na figura (2) temos o gráfico das funções Cossecante $g(x) = cossec(x)$ (na cor preta com pontos na forma de losângulos), Cotangente $f(x) = cotg(x)$ (na cor vermelha com pontos em forma de triângulos) e Secante $h(x) = sec(x)$ (na cor azul com pontos na forma de círculos) pela variável x .

III. APLICAÇÕES EM FÍSICA: MECÂNICA

A. Movimento de um corpo sob ação de força externa

Começaremos com a modelagem de uma partícula de massa m , movendo-se sob a ação de uma força F que gera uma aceleração a . Sabendo que a partícula possui posição inicial x_0 e velocidade inicial v_0 , as equações que regem o movimento desse corpo são [2]:

$$x = x_0 + v_0 t + \frac{at^2}{2}, \quad v = v_0 + at, \quad (1)$$

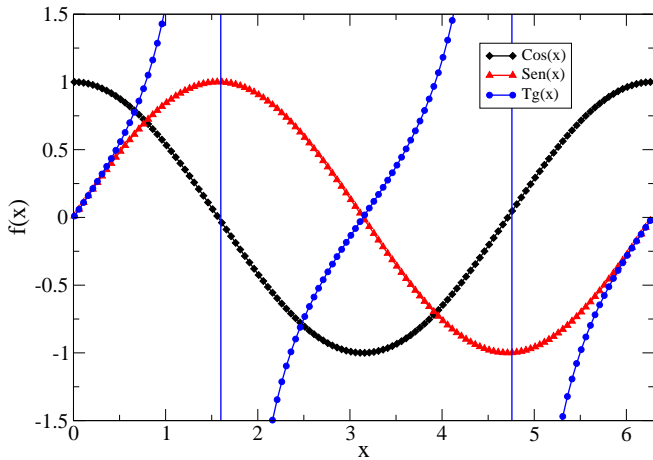


Figura 1. Gráfico das funções Cosseno $g(x) = \cos(x)$ (na cor preta com pontos na forma de losângulos), Seno $f(x) = \sin(x)$ (na cor vermelha com pontos em forma de triângulos) e Tangente $h(x) = \tan(x)$ (na cor azul com pontos na forma de círculos).

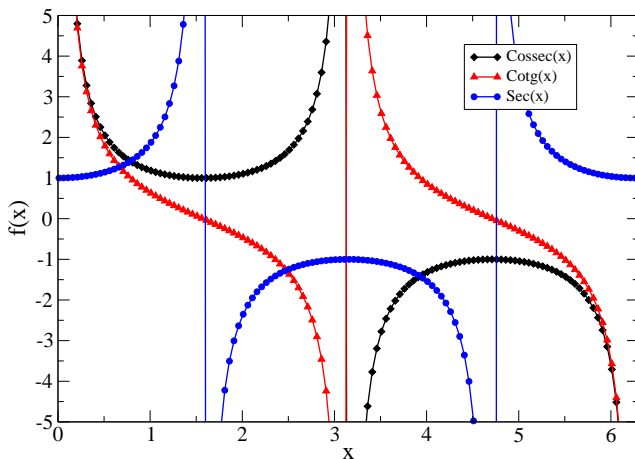


Figura 2. Gráfico das funções Cossecante $g(x) = \operatorname{cosec}(x)$ (na cor preta com pontos na forma de losângulos), Cotangente $f(x) = \operatorname{cotg}(x)$ (na cor vermelha com pontos em forma de triângulos) e Secante $h(x) = \sec(x)$ (na cor azul com pontos na forma de círculos).

para (x) posição e (v) velocidade em um instante de tempo (t) e

$$F = ma, \quad (2)$$

para a relação entre a força F , a massa e a aceleração. Esse tipo de movimento é chamado de movimento retilíneo uniformemente variado (MRUV) por manter uma aceleração constante fazendo com que a velocidade varie uniformemente [2].

A interpretação destas equações podem ser mais facilmente obtidas através dos seus respectivos cálculos numéricos em Fortran, como segue abaixo.

```
program MRUV
real*8 x0,v0,a,t,tfinal,passo,x,v
```

```
real*8 m,F
open(unit=1,file='posi.dat',
$      status='unknown')
open(unit=2,file='veloci.dat',
$      status='unknown')
x0=1.d0
v0=1.d0
m=1.d0
F=10.d0
a=F/m
t=0.d0
tfinal=10.d0
passo=0.2d0
1  if(t.lt.tfinal)then
    x=x0+v0*t+(a*(t**2))/2
    v=v0+a*t
    write(1,*) t,x
    write(2,*) t,v
    t=t+passo
    goto 1
  endif
end
```

No código acima, temos o nome do programa na primeira linha. Na segunda e terceira linhas é feita a definição das variáveis e constantes quanto à sua natureza, sendo todas elas variáveis de números reais para este caso [3]. O comando `real*8` denota essa informação.

Na quarta linha temos o comando `open`, que gera um arquivo de saída onde serão impressos os pontos com informação da posição da partícula a cada instante de tempo, seguido pela unidade a ser alocada dentro do programa `unit=1`. O nome do arquivo onde serão inseridos os dados é `posi.dat`, onde “dat” é a extensão para arquivos com tabelas numéricas geralmente interpretados por programas de análise gráfica, como o Gnuplot ou Xmgrace. Este arquivo será criado na pasta que contém o código de execução. O `status=unknown`, na linha abaixo, diz ao programa que ele precisa criar um arquivo ou escrever sobre esse arquivo já existente. Note que na linha do status existe o símbolo `$`, que representa a continuação da linha anterior.

Nas linhas 6 e 7 abrimos mais um arquivo para os dados referentes à velocidade da partícula. Nas linhas de 8 a 11 inserimos os valores numéricos das constantes: posição inicial ($x_0 = 1$), velocidade inicial ($v_0 = 1$), massa da partícula ($m = 1$) e força que atua sobre a mesma ($F = 10$). Numericamente não existem unidades, mas sabemos que num sistema físico as grandezas acima são expressas em Metro (m), Metro por Segundo (m/s), Quilograma (kg) e Newton (N), respectivamente. Na linha 12 encontramos escrito a equação (2) da força de maneira que se obtenha a aceleração da partícula. Na linha 13 temos a definição do tempo inicial ($t = 0.d0$) e do tempo final na linha 14 ($tfinal = 10.d0$). Na linha 15 o tamanho do passo que determina o incremento de tempo entre dois pontos consecutivos do tempo (`passo = 0.2d0`).

Na linha 16 executamos uma pergunta utilizando os comandos `if` (literalmente “se”) e `then` (“então”), na per-

gunta: “Se t é menor que o t final, então. A variável t assume os valores correspondentes ao tempo transcorrido desde o início do movimento da partícula. Os comandos **if** e **then** estão relacionados às tomadas de decisões em Lógica Matemática, onde simbolicamente tem-se ($a \rightarrow b$), com significado “se a , então b ” [3, 4].

Na linha 17 atribui-se à variável x o valor da posição da partícula a cada instante de tempo t utilizando-se da equação de movimento do M. R. U. V., das equações (1), enquanto na linha seguinte atribui-se à variável v o valor da velocidade a cada instante de tempo. Nas linhas 19 e 20 escreve-se os valores das variáveis t e x para cada instante no arquivo **'posi.dat'** e as variáveis t e v a cada instante no arquivo **'veloci.dat'**.

Acrescentamos à variável t um incremento no valor de 0,2 através da atribuição **t=t+passo**. Em seguida, o código retorna a marcação 1, com o comando **goto** “vá para”, para repetir a pergunta na linha 16. Quando t atingir o maior valor possível, mas menor que t_{final} , a sentença lógica entre parênteses, após o comando **if**, deixará de ser verdadeira e a repetição dentro da estrutura deixará de ser executada. Fecha-se essa pergunta com o comando **endif** (linha 23) e finalmente, fecha-se o código na linha 24 com o comando **end** (“fim”).

Na figura (3) podemos ver o gráfico da posição da partícula em função dos instantes de tempo calculados pelo programa para diferentes valores de força à qual ela está submetida. A curva em cor preta (linha preta e pontos em forma de losângulo) representa a posição em função do tempo para a força igual a 1 ($F = 1$). A força $F = 3$ está em vermelho com pontos triangulares. Para $F = 5$ temos linhas na cor azul e pontos circulares. Para $F = 7$ a linha é marrom e pontos em forma de mais (+) e para $F = 10$, linha amarela com pontos em forma de asterisco.

As curvas da figura (3) mostram que a posição da partícula varia no tempo com um comportamento de uma função polinomial de grau 2, ou quadrático com aceleração positiva (curva voltada para cima).

A figura (4) apresenta o gráfico da velocidade da partícula em função do tempo com diferentes valores de força. Esta figura apresenta o mesmo sistema de pontos e cores da figura (3) ($F = 1$, Preta; $F = 3$, Vermelha; $F = 5$, Azul; $F = 7$, Marron; $F = 10$, Amarela).

As retas da figura (4) mostram que a velocidade da partícula varia no tempo com um comportamento de uma função polinomial de grau 1, ou linear com aceleração positiva (reta voltada para cima).

B. Energia Mecânica

Um dos conceitos mais fundamentais, quando inicia-se o estudo de física, é a Energia Mecânica. A conservação desta energia serve de base para a análise de inúmeros fenômenos e para a verificação da validade de muitas teorias.

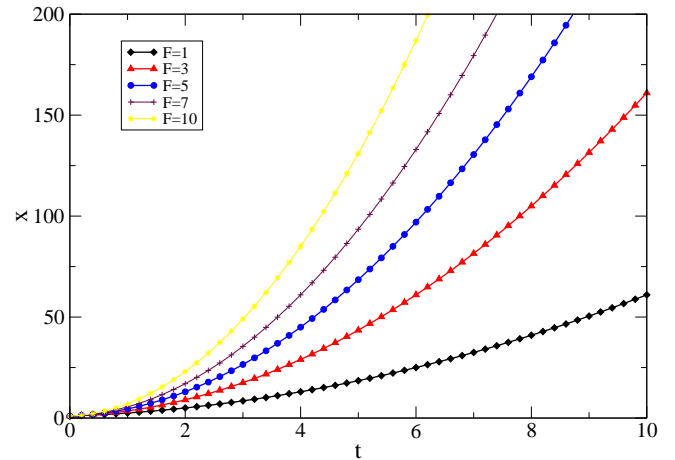


Figura 3. Gráfico da posição em função do tempo para diferentes valores de força. A curva em cor preta (linha preta e pontos em forma de losângulo) representa a posição em função do tempo para a força igual a 1 ($F = 1$). A força $F = 3$ está em vermelho com pontos triangulares. Para $F = 5$ temos linhas na cor azul e pontos circulares. Para $F = 7$ a linha é marrom e pontos em forma de mais (+) e para $F = 10$, linha amarela com pontos em forma de asterisco.

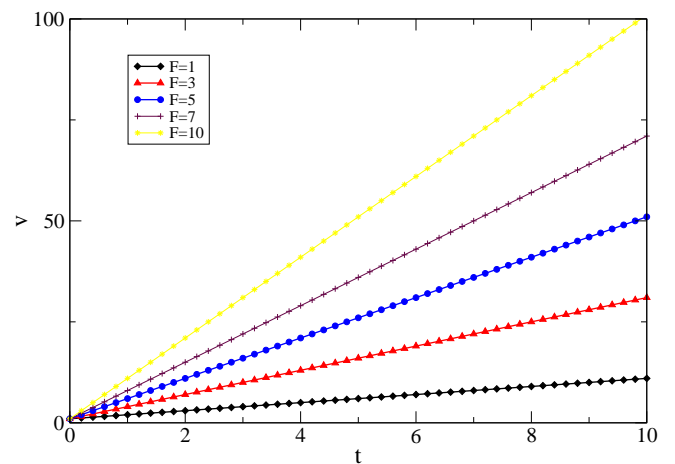


Figura 4. Gráfico da velocidade em função do tempo para diferentes valores de força. A curva em cor preta (linha preta e pontos em forma de losângulo) representa a posição em função do tempo para a força igual a 1 ($F = 1$). A força $F = 3$ está em vermelho com pontos triangulares. Para $F = 5$ temos linhas na cor azul e pontos circulares. Para $F = 7$ a linha é marrom e pontos em forma de mais (+) e para $F = 10$, linha amarela com pontos em forma de asterisco.

O aluno que está iniciando seus estudos em física precisa de uma introdução detalhada sobre esse conceito, por isso vamos começar com o sistema mais simples apresentado nos livros textos básicos: o sistema massa-mola [2]. Este sistema é composto por um bloco, de massa (m), preso a uma mola de constante elástica (k) em uma superfície sem atrito, como mostra a figura (5). Esse sistema tem energia cinética (K) (K maiúsculo, representando a palavra “Kinetics”, que significa “Cinética” em

inglês), atribuída ao movimento restrito do bloco, proporcional à sua massa e a sua velocidade ao quadrado. A energia potencial (U) refere-se à compactação ou esticamento da mola. Esta energia pode ser transferida para o bloco convertendo-se em movimento. A energia potencial do bloco, depende da constante da mola e da distância ao quadrado em relação à posição de equilíbrio estático ou de repouso. A constante k (k minúsculo) é um valor específico que depende do tipo de material do qual a mola é feita e lhe dá maior ou menor resistência à compressão (esticamento). Por isso, essa informação é essencial para saber quanta energia potencial o corpo irá adquirir e em quanto movimento irá se transformar.

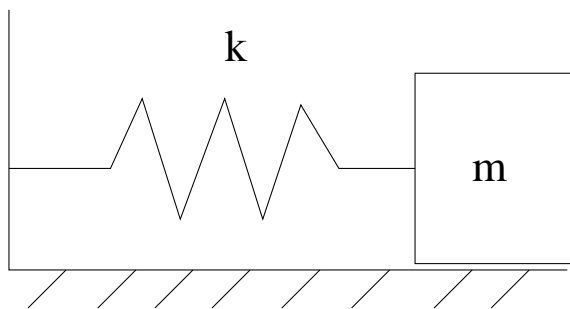


Figura 5. Sistema massa-mola. Bloco de massa m e constante elástica k . Os traços em diagonal no solo representam o chão sem atrito.

A energia cinética e a potencial podem ser escritas como

$$K = \frac{1}{2}mv^2, \quad U = \frac{kx^2}{2}. \quad (3)$$

De forma simples, a soma das duas energias, K e U , dão origem a chamada Energia Mecânica (E). Aqui adotamos as nomenclaturas mais usuais para K , U e E , outros símbolos podem ser encontrados dependendo da bibliografia consultada, como por exemplo: E_c , para energia cinética ou E_p para energia potencial e E_m , para energia mecânica.

Dessa forma, a energia mecânica é escrita matematicamente como

$$E = \frac{1}{2}mv^2 + \frac{kx^2}{2}, \quad (4)$$

$$E = K + U. \quad (5)$$

Utilizando o gráfico destas três energias, percebe-se que as energias cinética, potencial elástica e mecânica possuem uma relação entre si. A visualização desse gráfico auxilia muito no entendimento do conceito das três energias e faz com que o aluno crie conexões entre o gráfico, o conceito e as equações. Essa abordagem é parte integrante da aprendizagem no que diz respeito ao desenvolvimento cognitivo em física.

Outro mecanismo de fixação do conceito e das equações é a construção do código que simula o sistema. Assim o aluno entende a lógica que envolve o conceito físico. Tal código em Fortran é apresentado a seguir.

```

program mola
  real*8 x,a,U,K,E,xfinal,passo
  open(unit=1,file='u1.dat',
    $   status='unknown')
  open(unit=2,file='k1.dat',
    $   status='unknown')
  open(unit=3,file='e1.dat',
    $   status='unknown')
  x=-3.d0
  xfinal=3.2d0
  passo=0.2d0
  a=5.d0
  E=22.5d0
1  if(x.lt.xfinal)then
    U=(a*(x**2))/2.d0
    K=E-U
    write(1,*) x,U
    write(2,*) x,K
    write(3,*) x,E
    x=x+passo
    goto 1
  endif
end

```

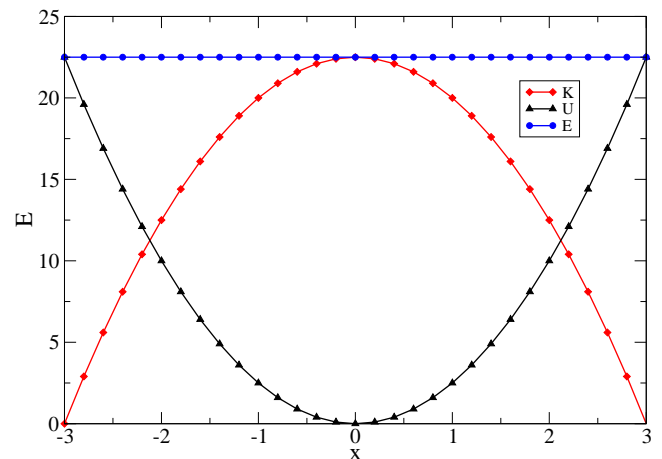


Figura 6. Gráfico das energias cinética (em vermelho com pontos em losângulo), mecânica (em azul com pontos circulares) e potencial (em preto com pontos triangulares), relacionadas ao movimento harmônico simples.

Apresentam-se os mesmos comandos básicos para início de código, como feito nos códigos anteriores. Atribui-se nome ao programa (linha 1), define-se as variáveis reais (linha 2), nas linhas de 3 à 8 abrimos arquivos externos que receberão os valores de energia potencial, energia cinética e mecânica respectivamente. A variável principal nesse programa é a posição (x). Estabelecemos uma posição inicial $x = -3$ e final $x_{final} =$

3,2 com passo de variação de 0,2. A Energia mecânica total foi fixada em $E = 22,5$ e a constante da mola tendo valor $k = 5$ (“k” foi chamado de “a” no código, pois já utilizou-se “K” para denotar a energia cinética). Nota-se que não é necessário saber a velocidade (v) da massa (m), pois a energia cinética é obtida através da diferença entre a energia mecânica e a potencial em cada posição. A conservação de energia pode ser utilizada por quê o sistema é conservativo [2, 5]. Esse procedimento é feito através da equação (5), na linha 16 do código. Dessa forma, temos da energia mecânica (linha 13) constante, o cálculo da energia potencial na linha 15 e a energia cinética na linha 16.

A variação dos valores assumidos pela variável x se dá na linha 20, enquanto a verificação de que ela ainda possui valor inferior ao máximo estabelecido (x_{final}) está expresso na linha 14. Para a primeira verificação, o programa compara os valores de $x = -3$ com $x_{final} = 3,2$. Então (**then**) ele continua e realiza todos os cálculos solicitados chegando à linha 20 que adiciona 0,2 à posição x e passa ao próximo comando **goto 1** que determina a execução do programa a retornar ao número 1 anterior fixado na linha 14. Dessa forma, criamos uma conta cíclica (um “loop”) até atingirmos o valor suficientemente alto para a variável de posição x .

A figura (6) mostra a representação gráfica resultante do código mola. São apresentadas as três energias do sistema em função da posição da massa. A energia potencial (linha preta com pontos triangulares) começa com um valor total de 22,5, na posição $x = -3$ e diminui até atingir o valor mínimo $U = 0$ em $x = 0$. Ela retorna a aumentar até o valor inicial em $x = 3$. O comportamento da energia cinética (linha vermelha com pontos em forma de losângulos) é o inverso. Esta energia inicia com valor $K = 0$ e aumenta até o $K = 22,5$ em $x = 0$, exatamente na posição em que a energia potencial é zero. Com o aumento dos valores da variável x , K diminui até atingir zero novamente. Esse comportamento ocorre por causa da massa presa à mola. Quando comprimimos (esticamos) a mola (entende-se que a massa está presa à mola) o sistema tem energia potencial máxima. Quando liberamos a massa, essa energia é transformada em movimento e a energia cinética apresenta valores não nulos. Como a energia mecânica (linha azul com pontos circulares) é a soma das duas outras energias ela se mantém constante durante todo o tempo, como é de se esperar num sistema conservativo.

IV. DINÂMICA NÃO-LINEAR

A. O Rotor Pulsado

A Teoria do Caos apresenta diversos fenômenos em física e matemática, que já são amplamente estudados por diversos pesquisadores, mas que ainda deixam legos muito intrigados. A dinâmica caótica está presente em problemas na área chamada de Dinâmica Não-linear

ou de Sistemas Dinâmicos Caóticos. Certos fenômenos são bem comuns, como os Fractais, Atratores caóticos (que possuem relação com o que se conhece como efeito borboleta), Órbitas periódicas e caóticas e Expoentes de Lyapunov [5–8]. Para introduzir esse tema na linguagem Fortran apresentaremos o Mapa Padrão, ou Mapa de Chirikov-Taylor [9], que é resultado da discretização das equações de movimento do Rotor pulsado.

O rotor pulsado é um sistema dinâmico composto por uma haste que pode girar em torno de um eixo após sofrer ação de uma força. Consideremos uma haste, de comprimento L , com uma extremidade fixa de modo que a mesma possa fazer o movimento de rotação sobre esse eixo, como apresentado na figura (7).

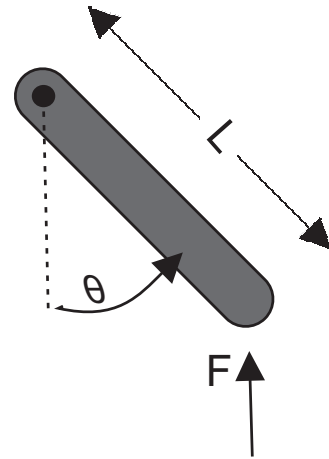


Figura 7. Haste com eixo de rotação (Rotor pulsado) com comprimento L sob ação de uma força F , que a faz rotacionar angularmente em θ .

Sobre esse sistema atua uma força F que depende de um campo gravitacional g . A força oscila com o tempo (t) e pode ser escrita como um somatório de pulsos da forma

$$F(t) = f \sum_{n=-\infty}^{\infty} \delta(t - nT). \quad (6)$$

Nesta equação, T é o período de oscilação, δ é a função delta de Dirac e f é a intensidade da força.

O potencial da haste é dado por $V = -\int F(t)dx = Fx = FL\cos(\theta)$. Fazendo algumas manipulações algébricas encontramos

$$V = I\omega_0^2 \cos(\theta) \sum_{n=-\infty}^{\infty} \delta(t - nT). \quad (7)$$

onde $\omega_0^2 = g/l$ é a frequência natural de oscilação da haste e $I = mL^2$ é o momento de inércia de uma haste. A energia cinética da haste é uma energia de rotação pura e podemos expressar como

$$T = \frac{1}{2}I\omega^2 = \frac{p^2}{2I}, \quad (8)$$

com $\omega = \frac{d\theta}{dt}$ a velocidade angular ou em termos do momento linear (p) [2, 5].

A Hamiltoniana do sistema é escrita pela soma da energia cinética com a energia potencial [10, 11], dada por

$$H(p, \theta, t) = \frac{p^2}{2I} + I\omega_0^2 \cos(\theta) \sum_{n=-\infty}^{\infty} \delta(t - nT). \quad (9)$$

As equações de movimento são dadas pelas equações de Hamilton

$$\dot{\theta} = \frac{dH}{dp} = \frac{p}{I} \quad (10)$$

$$\dot{p} = -\frac{dH}{d\theta} = I\omega_0^2 \sin(\theta) \sum_{n=-\infty}^{\infty} \delta(t - nT) \quad (11)$$

O ponto sobre as variáveis significa a derivada temporal $\dot{\theta} = \frac{d\theta}{dt}$.

Os pulsos de força ocorrem nos instantes $t = nT$, onde n é o enésimo impacto que ocorre a cada intervalo de tempo T . Integrando a equação (11) durante o intervalo de tempo entre impactos consecutivos

$$\begin{aligned} \int_{nT}^{(n+1)T} \dot{p} dt &= \int_{nT}^{(n+1)T} \frac{dp}{dt} dt \\ &= \int_{nT}^{(n+1)T} I\omega_0^2 \sin(\theta) \sum_{n=-\infty}^{\infty} \delta(t - nT) dt \end{aligned} \quad (12)$$

Considerando um tempo infinitesimal, pode-se fazer a aproximação $\sin(\theta) \sum_{n=-\infty}^{\infty} \delta(t - nT) = \sin(\theta_n)$, onde θ_n é o valor da variável angular do rotor no instante do enésimo impacto. Com isso a variável θ_n não depende do tempo e a integral pode ser escrita como:

$$\begin{aligned} \int_{nT}^{(n+1)T} dp &= p_{n+1} - p_n = \int_{nT}^{(n+1)T} I\omega_0^2 \sin(\theta) dt \\ &= I\omega_0^2 \sin(\theta_n) T, \end{aligned} \quad (13)$$

onde $T = t_{n+1} - t_n$ é o período de oscilação da força e p_n é o valor do momento angular do rotor no instante do enésimo impacto. Com isso, temos

$$p_{n+1} = p_n + I\omega_0^2 T \sin(\theta_n). \quad (14)$$

Para obtermos o valor da variável angular discretizada em cada impacto, integramos a equação (10) e obtemos

$$\int_{nT}^{(n+1)T} \dot{\theta} dt = \int_{nT}^{(n+1)T} \frac{d\theta}{dt} dt \quad (15)$$

$$= \int_{nT}^{(n+1)T} d\theta = \int_{nT}^{(n+1)T} \frac{p(t)}{I} dt. \quad (16)$$

Resolvendo a integral para θ , temos

$$\theta_{n+1} - \theta_n = \int_{nT}^{(n+1)T} \frac{p_{n+1}}{I} dt = \frac{p_{n+1}}{I} T. \quad (17)$$

Resultando em

$$\theta_{n+1} = \theta_n + \frac{T}{I} p_{n+1}. \quad (18)$$

Escolhendo exatamente o período $T = I$ e fazendo uma mudança de variáveis $K = (I\omega)^2$, obtemos o mapa padrão descrito através das equações discretizadas por:

$$p_{n+1} = p_n + K \sin(\theta_n) \quad (19)$$

$$\theta_{n+1} = \theta_n + p_{n+1} \quad (20)$$

ou por

$$p_{n+1} = p_n + K \sin(\theta_n) \quad \text{mod } 2\pi \quad (21)$$

$$\theta_{n+1} = \theta_n + p_{n+1} \quad \text{mod } 2\pi \quad (22)$$

Escolhemos novamente a letra K para mostrar exatamente como o mapa padrão é encontrado em livros e artigos, mas não deve-se confundir com a constante da mola ou energia cinética. A constante K aqui é adimensional sem ligação com as grandezas físicas anteriores.

O $\text{mod } 2\pi$ faz com que as soluções fiquem dentro de um espaço de fases modulado em 2π e o retrato de fases aparece nos intervalos de 0 à 1. Em diversos estudos pode-se encontrar a posição angular θ expressa pela variável x . Neste caso temos as dimensões como (x, p) e as equações na forma

$$p_{n+1} = p_n + K \sin(x_n) \quad (23)$$

$$x_{n+1} = x_n + p_{n+1} \quad (24)$$

As variáveis são escritas com índices x_n, p_n para indicarem que o tempo utilizado na evolução do sistema é discreto, de forma que n assume valores inteiros $n = 1, 2, 3, \dots, j$. Já as variáveis x_n e p_n assumem valores reais, como $x_2 = 0,34$ e $x_5 = 0,62$, por exemplo.

B. Retrato de fase do Mapa Padrão

Modelando o Mapa Padrão em Fortran podemos escrever o seu retrato de fase, que é o armazenamento das variáveis x e p com o passar do número de impactos (ou iterações das equações). Constrói-se um gráfico com x_{n+1} e p_{n+1} para verificar como a dinâmica do sistema se comporta para cada valor do parâmetro K .

Inicia-se o código com um nome na primeira linha e na segunda linha utilizamos o comando que atribui valor real a todas às variáveis que começam com as letras de a até h e de o até z, com exceção das letras i, j, k, l, m, n, que eventualmente podem ser designadas como variáveis inteiras. Essa definição é apresentada na linha 6. A linha 3 define que os valores de n e $n1$ podem chegar a valores iguais a 20.000 e 20.001, por escolha arbitrária. Na linha 4 é definido que as variáveis p e q , reais, serão representadas por vetores de dimensão iguais à $n1$. Pode-se determinar que os valores de n e $n1$ sejam iguais ao tamanho do vetor a ser utilizado.

```

program mapapadrao
implicit real*8(a-h,o-z)
parameter(n=20000,n1=20001)
dimension p(n1),q(n1)
EXTERNAL RAN1

```



```

integer i
open(1,"pmapa.dat")
pi = 4.d0*datan(1.d0)
a=0.18d0
do j=1,300
  q(1)= (ran1(idum))
  p(1)= (ran1(idum))+0.1d0
  do i=1,15000
    p(i+1)=p(i)+a*sin(2.d0*pi*q(i))
    q(i+1)=q(i)+p(i+1)
    p(i)=p(i+1)
    q(i)=q(i+1)
    if(i.gt.9000)then
      if(p(i).gt.0.d0)then
        if(q(i).gt.0.d0)then
          write(1,*) mod(q(i),1),
            $          mod(p(i),1)
          endif
        endif
      endif
    endif
  enddo
enddo
end

FUNCTION ran1(idum)
INTEGER idum,IA,IM,IQ,IR,NTAB,NDIV
REAL*8 ran1,AM,EPS,RNMX
PARAMETER (IA=16807,IM=2147483647,AM=1.d0/IM,
$ IQ=127773,IR=2836,
*NTAB=32,NDIV=1+(IM-1)/NTAB,EPS=1.2d-7,
$ RNMX=1.d0-EPS)
INTEGER j,k,iv(NTAB),iy
SAVE iv,iy
DATA iv /NTAB*0/, iy /0/
if (idum.le.0.or.iy.eq.0) then
  idum=max(-idum,1)
  do 11 j=NTAB+8,1,-1
    k=idum/IQ
    idum=IA*(idum-k*IQ)-IR*k
    if (idum.lt.0) idum=idum+IM
    if (j.le.NTAB) iv(j)=idum
11  continue
  iy=iv(1)
endif
k=idum/IQ
idum=IA*(idum-k*IQ)-IR*k
if (idum.lt.0) idum=idum+IM
j=1+iy/NDIV
iy=iv(j)
iv(j)=idum
ran1=min(AM*iy,RNMX)
return
END

```

O comando **EXTERNAL RAN1** traz para o código principal um código subjacente, que realiza o cálculo apenas em determinado local, quando solicitado, sem ocupar tempo de programação desnecessária. Esse tipo de sub-código é chamado de “sub-rotina” (ou *subroutine* em

inglês) e aparece na sequência do final do código principal. Neste caso, a sub-rotina é a **RAN1** que é utilizada nas linhas 11 e 12 para gerar números aleatórios às variáveis x_1 e p_1 , definidas como $q(1)$ e $p(1)$ no código principal. Essa sub-rotina pode ser encontrada com melhor descrição na referência [12].

Na linha 8 está o comando que fornece o valor numérico de π , como mencionado anteriormente. O parâmetro K , presente na equação (23), é definido na linha 9, com a letra a no código por dois motivos, um por simplicidade outro para que ele seja usado como um número real, já que definimos inicialmente que a letra k seria uma variável inteira.

Depois de escolher aleatoriamente os valores de x_1 e p_1 iniciamos a iteração do mapa através dos comando **do** com a contagem de $i = 1$ até $i = 15.000$. O programa insere os primeiros valores de x e p nas equações (23) e (24) obtendo os valores das variáveis (x_2 e p_2) num tempo seguinte. Neste caso, o tempo é discreto, ou seja, i varia em apenas uma unidade inteira ($i = 1, 2, 3, \dots, 15.000$). Os dez primeiros valores do tempo discreto i e das variáveis reais x e p podem ser vistos na tabela (I). Pode-se notar que a iteração do mapa nada mais é do que a utilização de duas funções compostas, feito nas linhas de 13 à 17.

Tabela I. Tabela de valores para x_i e p_i em função de i com nove casas decimais.

i	x_i	x_{i+1}	p_i	p_{i+1}
1	0,415999357	0,698617052	0,191964891	0,282617695
2	0,698617052	0,810534358	0,282617695	0,111917306
3	0,810534358	0,755315313	0,111917306	-0,055219045
4	0,755315313	0,520196642	-0,055219045	-0,235118671
5	0,520196642	0,262297363	-0,235118671	-0,257899279
6	0,262297363	0,18386104	-0,257899279	-0,0784363231
7	0,18386104	0,270104744	-0,0784363231	0,0862437042
8	0,270104744	0,534914208	0,0862437042	0,264809464
9	0,534914208	0,760552586	0,264809464	0,225638378
10	0,760552586	0,806586478	0,225638378	0,0460338913

O sistema fornece grande oscilação nos primeiros valores obtidos, estabilizando depois de certo tempo para valores de K onde o mapa é periódico. Essa oscilação é chamada de Transiente e tenta-se eliminá-lo não considerando certos valores iniciais. Nesse código desconsideramos os valores de x e p para o tempo de $i = 1$ até $i = 9.000$. Registramos os valores das variáveis para tempos de $i = 9.001$ até $i = 15.000$. Isso pode ser visto na linha 18, com a relação **if**, que se fecha na linha 25 com **endif**. Nas linhas 19 e 20, também com **if**, selecionamos apenas os valores de p e q positivos. Esse procedimento é necessário para não aparecer o mesmo gráfico replicado da parte positiva na parte negativa. A reflexão, da parte positiva na parte negativa do retrato de fases é uma propriedade do mapa padrão.

Nas linhas 21 e 22 escrevemos as variáveis q_i e p_i aplicando o **mod(q,1)** [13] para que seus valores mantenham-se entre 0 e 1. Após esse procedimento, fecha-se o programa com os **endif** e **enddo** nas linhas

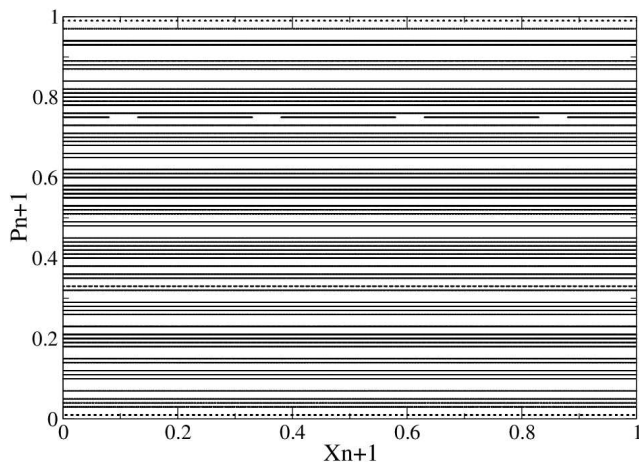


Figura 8. Retrato de fase do mapa padrão $(p_{n+1}; x_{n+1})$ para $K = 0$.

seguintes.

Deixando uma linha em branco para iniciar a subrotina de números aleatórios, que não entraremos em detalhes aqui. Sugerimos ao leitor procurar a referência [12] para maiores detalhes desse código.

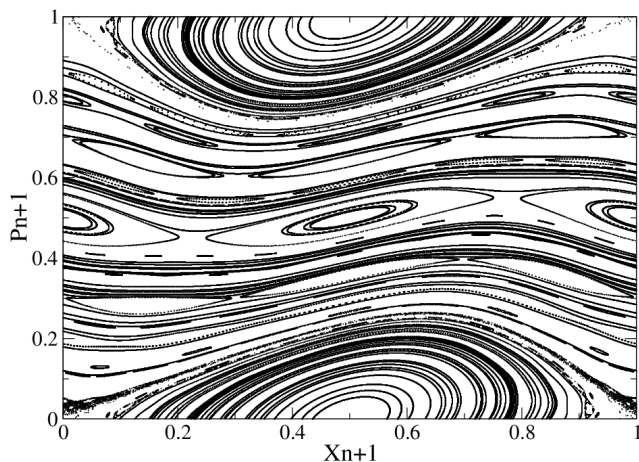


Figura 9. Retrato de fase do mapa padrão para $K = 0,1$.

Nas figuras (8), (9), (10), (11) e (12) temos o resultados do programa do mapa padrão detalhado até agora. A figura (8) apresenta o retrato de fase [6, 8], p_{n+1} por x_{n+1} (n ou i no código), para o Mapa Padrão com condições iniciais (x_1, p_1) aleatórias e parâmetro K sendo igual a 0. Para esse valor de K o sistema é integrável (completamente regular) [6, 8] e apresenta linhas horizontais. O sistema não apresenta caos e só pode haver valores iguais de p_{n+1} para diferentes x_{n+1} .

A figura (9) apresenta o retrato de fase para o Mapa Padrão com $K = 0,1$. Nesse valor de K o espaço de fases é deformado. Note que o sistema não é mais integrável, mas misto, com comportamento regular e caótico coexistindo no mesmo espaço de fases. A área do regime caótico

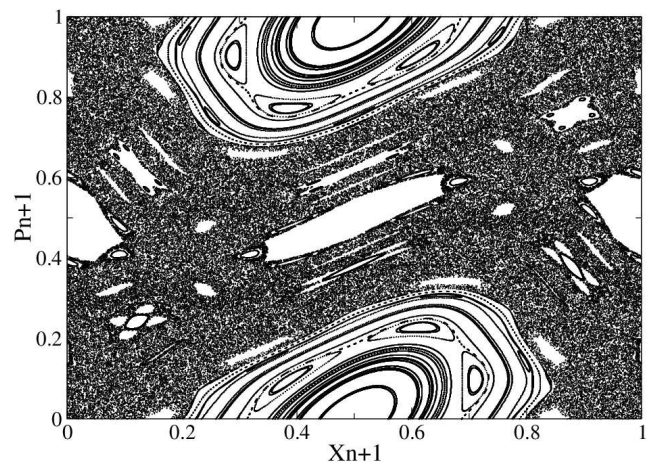


Figura 10. Retrato de fase do mapa padrão para $K = 0,2$.

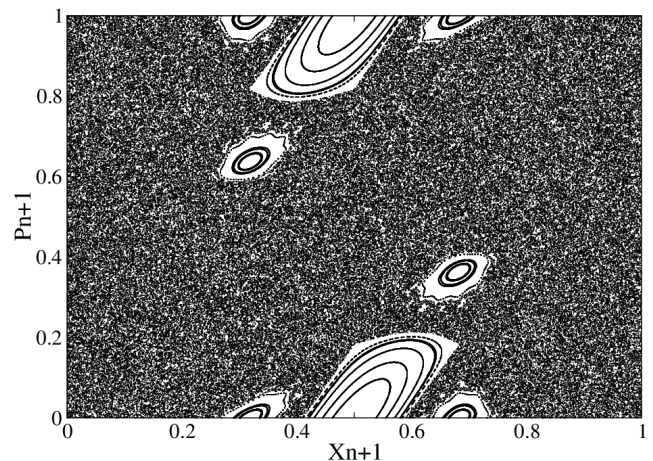


Figura 11. Retrato de fase do mapa padrão para $K = 0,4$.

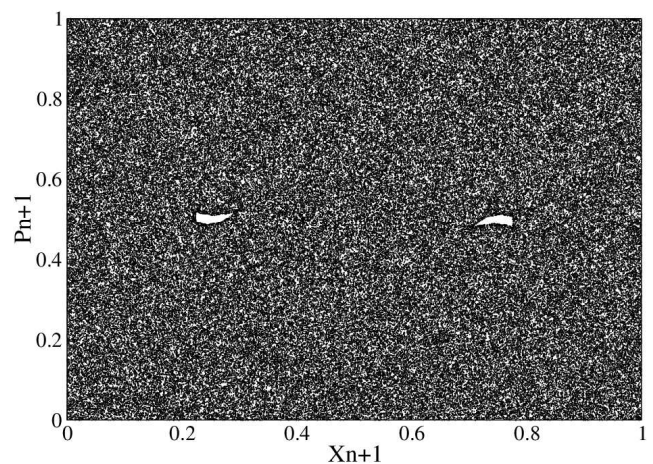


Figura 12. Retrato de fase do mapa padrão para $K = 0,8$.

ainda é pequena, mas pode ser vista entre $x_{n+1} = 0,0$ e

$x_{n+1} = 0, 1$, $p_{n+1} = 0, 0$ e $p_{n+1} = 0, 05$, na figura (9).

Verifica-se o aparecimento de linhas fechadas, geralmente chamadas de ilhas ou armadilhas dinâmicas. Estas ilhas rodeiam pontos, que normalmente não são visíveis, de equilíbrio estável, chamados de pontos Elípticos [6–8]. Quando se fornece para o mapa os valores (x_1, p_1) do ponto de equilíbrio (x^*, p^*) , o sistema retorna sempre aos mesmos pontos nas iterações subseqüentes, ou seja, a dinâmica cessa e entra em equilíbrio estático com

$$x_{n+1} = x_n = x^* \quad e \quad p_{n+1} = p_n = p^* \quad (25)$$

Na figura (10) pode-se ver uma grande mudança no retrato de fase do mapa, quando o parâmetro K assume o valor 0,2. Com o aumento do parâmetro K percebe-se que muitas linhas desaparecem e dão lugar a pontos aleatórios, ou seja, o chamado mar caótico. O desaparecimento das linhas deve-se a quebra da integrabilidade que é proporcionada pela geração de frequências irracionais de rotações em torno do toro que forma o espaço de fases do sistema. A superfície desse toro é delimitada pela energia do sistema, que nesse caso é constante por se tratar de um sistema conservativo [5, 6, 8].

Diversos pontos elípticos ainda aparecem na figura (10), mostrando que dependendo das condições iniciais o sistema pode ser regular ou caótico.

No entorno das ilhas, na região caótica, ainda pode ser notado uma densidade maior de pontos. Esses pontos representam o fenômeno chamado de *Stickiness* e tornam a dinâmica do sistema quase regular. Esse fenômeno é bem descrito na referência [8, 10].

Com $K = 0,4$, a figura (11) apresenta uma diminuição acentuada das ilhas e dos pontos de equilíbrio. Visivelmente o retrato de fase apresenta oito pontos elípticos e a região caótica aumenta consideravelmente. Diz-se que o comportamento do sistema tornou-se mais caótico.

A figura (12) apresenta o comportamento do mapa para $K = 0,8$. Pode-se ver que apenas duas regiões não são visitadas por pontos. Nestas regiões encontram-se pontos de equilíbrio circundados por ilhas. O retrato de fase está quase totalmente tomado pelo caos. Se K atinge o valor igual a 1 todas as ilhas desaparecem e o sistema torna-se totalmente caótico ou ergódico (ver ref. [7]), fazendo com que todas as ilhas desapareçam.

V. APRENDIZAGEM SIGNIFICATIVA

As teorias de aprendizagem evoluíram para um entendimento de que o estudante deve fazer conexões do novo conhecimento com o que já está presente em sua estrutura cognitiva (conhecimento prévio). Esse é o caso da Aprendizagem Significativa apresentada por Ausubel [14], e que vem sendo amplamente aplicada ao ensino de física [15].

Aprendizagem Significativa é aquela em que um novo conceito se associa com os outros conceitos prévio que o estudante já possui. Para isso, o estudante utiliza uma ideia básica, âncora, que é chamada de subsunçor. Em

outras palavras o subsunçor é um conhecimento específico pertencente à estrutura cognitiva do estudante, que será associado aos novos conceitos apresentados à ele.

Uma aula que utiliza a programação em Fortran como ferramenta para entender os conceitos da física é uma aula que cria um ambiente de aprendizagem significativa. O ambiente de aprendizagem deixa o aluno estimulado à entender melhor os conceitos físicos, à conseguir relacioná-los com outro assunto, como o da programação, e de aprender uma linguagem de programação. A programação em Fortran ainda pode ser utilizada pelo estudante para outras finalidades, como em matemática, engenharia ou aprender com mais facilidade outra linguagem de programação, como C++ ou Java.

O aprendizado significativo ocorre de maneira que o estudante associa os conceitos da física aos conceitos da programação e de seus resultados. Isso pode acontecer por que o estudante precisará utilizar todo seu conhecimento prévio ou de física ou de programação, como base de sustentação, para construir um código que expresse o fenômeno físico estudado.

Podemos citar o caso das energias cinética, potencial e mecânica no exemplo do sistema massa-mola. Com o entendimento prévio do conceito de energia o estudante constroi o código em Fortran. Os subsunçores são as energias e o novo conceito é a lógica da programação. O fato mais interessante nesse caso é do estudante poder ter mais de um subsunçor para o mesmo aprendizado. Inicialmente o subsunçor é o conceito físico, da energia. Após a implementação do código e de ter obtido os resultados, tem-se uma nova interpretação dos gráficos através da associação feita entre este conceito e o código construído, ou seja, na forma que este o estudante construiu sua ideia aplicada ao código. Dessa forma, o novo subsunçor é o código, que será associado a nova interpretação do conceito de energia.

Neste caso, uma aprendizagem cíclica, que agrega conhecimento físico e de programação. Isso mostra como a ferramenta da programação é importante para o entendimento de forma significativa dos fenômenos físicos.

VI. CONCLUSÃO

Nos dias de hoje a programação numérica é imprescindível para a Física, Matemática, Engenharia e até áreas menos científicas como o cinema. Neste aspecto, alunos dessas áreas acadêmicas precisam de referências bibliográficas para iniciarem seus estudos em programação. Neste trabalho apresentamos uma breve introdução à programação em Fortran 77, no intuito de oferecer uma primeira abordagem dessa linguagem com aplicações na Física e Matemática.

O comportamento de algumas funções trigonométricas, como o seno, são apresentadas para o melhor entendimento do conceito de função. São apresentados códigos, no programa Fortran 77, de soma simples aplicados à mecânica Newtoniana. Dessa forma, o estudante

pode absorver mais facilmente os conceitos envolvidos na Física e na programação através da construção dos códigos e visualização gráfica dos resultados. Deduzimos em detalhes a descrição dinâmica de uma haste em rotação, chamado de rotor pulsado, que recai num sistema amplamente estudado em dinâmica não-linear, o Mapa Padrão. Através do retrato de fase desse mapa podendo visualizar o comportamento dinâmico que o sistema apresenta com a variação de um parâmetro de não-linearidade. A dinâmica varia de integrável para misto e, finalmente, totalmente caótico.

Uma breve discussão sobre a aprendizagem significativa foi apresentada com aplicação prática nos exemplos

construídos ao longo do trabalho. Pode-se inferir que apresentar a linguagem de programação em Fortran 77 para os estudantes em sala de aula, no intuito de melhorar o entendimento da física, pode propiciar um ambiente de aprendizagem mais significativo.

VII. AGRADECIMENTOS

Os autores agradecem o suporte financeiro da Fundação Araucária e do CNPq.

-
- [1] F. Harry, C. G. Becker, E. C. Faria, F. F. Campos Filho, H. F. Matos, M. A. Santos, M. L. Maia, *Fortran Estruturado*, (Guanabara Koogan, Rio de Janeiro, 1992).
 - [2] D. Halliday, R. Resnick, J. Walker, *Fundamentos de Física*, v. 1, (LTC, Rio de Janeiro, 2008), 8^a Ed.
 - [3] S. Lipschutz, M. Lipson, *Matemática discreta, Coleção Schaum*, (Grupo A, New York, 2010), 3^a Ed.
 - [4] K. H. Rosen, *Discrete Mathematics and Its Applications*, (McGraw Hill, New York, 2014), 6^a Ed.
 - [5] H. Goldstein, C. P. Poole, J. L. Safko, *Classical Mechanics. Massachusetts*, (Addison-Wesley, San Francisco, 2001), 3^a Ed.
 - [6] L. H. A. Monteiro, *Sistemas Dinâmicos.*, (Livraria da Física, São paulo, 2006), 2^a Ed.
 - [7] A. J. Lichtenberg, M. A. Lieberman, *Regular and Stochastic Motion*, (Springer-Verlag, New York, 1983).
 - [8] H. A. Oliveira, *Rev. Bras. Ensino Fis.*, **36**, n. 4, 4313 (2014).
 - [9] B. V. Chirikov, *Physics Reports*, **52**, n. 5, 263 (1979).
 - [10] H. A. Oliveira, C. Manchein, M. W. Beims, *Phys. Rev. E*, **78**, 046208 (2008).
 - [11] N. A. Lemos, *Mecânica Analítica.*, (Livraria da Física, São paulo, 2000).
 - [12] W. H. Press, S. A. Teukolsky, W. T. Vetterling, B. P. Flannery, *Numerical Recipes The Art of Scientific computing - Fortran 77*, (Cambridge, New York, 2007), 3^a Ed.
 - [13] J. P. O. Santos, *Introdução à Teoria dos Números*, (IMPA, Rio de Janeiro, 2014), 3^a Ed.
 - [14] D. P. Ausubel, *The psychology of meaningful verbal learning*, (Grune and Stratton, New York, 1963).
 - [15] M. A. Moreira, E. A. F. Masini, *Aprendizagem significativa: a teoria de David Ausubel*, (Centauro Editora, São Paulo, 2006), 2^a Ed.